

**БЕЛОРУССКИЙ ГОСУДАРСТВЕННЫЙ УНИВЕРСИТЕТ  
ФАКУЛЬТЕТ ПРИКЛАДНОЙ МАТЕМАТИКИ И  
ИНФОРМАТИКИ**

**Кафедра методов оптимального управления**

**Отчет  
о прохождении преддипломной практики**

студентки 4 курса  
Манжулиной Елизаветы  
Александровны,  
специальность  
«прикладная математика»

Руководитель практики:  
канд. физ.-мат. наук  
доцент Н.М. Дмитрук

Минск 2021

# ОГЛАВЛЕНИЕ

	С.
<b>ВВЕДЕНИЕ</b> . . . . .	3
<b>ГЛАВА 1 ПОСТАНОВКА ЗАДАЧИ ПРИ НАЛИЧИИ МОДЕЛИ СИСТЕМЫ</b> . . . . .	4
1.1 Постановка задачи . . . . .	4
1.2 Метод решения . . . . .	5
<b>ГЛАВА 2 ПОСТАНОВКА ЗАДАЧИ В ОТСУТСТВИЕ МОДЕЛИ СИСТЕМЫ</b> . . . . .	8
2.1 Информативность априорной траектории . . . . .	8
2.2 Принцип делимости . . . . .	10
<b>ГЛАВА 3 ЧИСЛЕННЫЕ ПРИМЕРЫ</b> . . . . .	14
3.1 Элементы программной реализации . . . . .	14
3.2 Пример 1. . . . .	18
3.3 Пример 2. . . . .	20
<b>ЗАКЛЮЧЕНИЕ</b> . . . . .	22
<b>СПИСОК ИСПОЛЬЗОВАННОЙ ЛИТЕРАТУРЫ</b> . . . . .	23

# ВВЕДЕНИЕ

В современном мире неумолимо возрастает размерность и общая сложность систем управления. Моделирование многих процессов представляется чрезмерно трудоемким, а построенная модель зачастую слишком сложна и громоздка для практического использования. В последние годы все большую популярность набирают методы системного анализа и управления, базирующиеся не на достоверном знании внутренней организации системы (ее модели), но лишь на ее наблюдаемом поведении (измеренных выходных сигналах). В литературе (см., например, [7]) новые методы получили название *data-driven control methods*, т.е. методы управления на основе данных. Настоящая работа примыкает к направлению в рамках теории управления на основе данных, истоки которого находятся в поведенческой (бихевиористской) теории динамических систем. В рамках этой теории будем опираться в основном на результаты работы [11] и на развитие этих результатов в [2] для описания систем в пространстве состояний. В качестве примеров успешного использования результатов [2] отметим работы по стабилизации линейных стационарных систем [3, 4, 8], а также одношаговый метод проверки системы на диссипативность [9]. Некоторые результаты получены и для нелинейных систем [6, 8], хотя в этом направлении продвижение не столь велико.

В данной работе предлагается решение задачи оптимального гарантированного управления линейной стационарной дискретной системой по неточным измерениям выходных сигналов и при наличии ограничений, в формулировке которой собственно модель в явном виде отсутствует, а динамика системы неявно задается данными априорного наблюдения.

Работа структурирована следующим образом: в главе 1 формулируется конкретная задача оптимального управления линейной системой, вокруг которой сосредоточена данная работа, а также приводится метод ее решения, опирающийся на известную минимальную реализацию системы в пространстве состояний. В главе 2 кратко приводятся результаты исследования поставленной задачи в случае отсутствия какого-либо явного параметрического представления системы, предлагается метод решения, базирующийся на измерениях в одном единственном процессе управления. Эффективность предложенного метода иллюстрируется численными примерами в главе 3. Наконец, в заключении приводятся краткие выводы по результатам проведенной работы.

# ГЛАВА 1

## ПОСТАНОВКА ЗАДАЧИ ПРИ НАЛИЧИИ МОДЕЛИ СИСТЕМЫ

В данной главе будет сформулирована рассматриваемая задача оптимального управления по выходу линейной системой с известной минимальной реализацией в пространстве состояний и приведен один из возможных методов ее решения.

### 1.1 Постановка задачи

Рассмотрим линейную дискретную стационарную систему  $G$ , минимальная реализация  $(A, B, C, D)$  которой известна:

$$x(t+1) = Ax(t) + Bu(t), \quad x(0) = x_0, \quad (1.1)$$

$$y(t) = Cx(t) + Du(t),$$

$$t = 0, \dots, T-1.$$

Здесь  $x(t) \in \mathbb{R}^n, u(t) \in \mathbb{R}^m, y(t) \in \mathbb{R}^p$  — состояние системы, управление и выходной сигнал в момент времени  $t$ , соответственно.

На управляющие и выходные сигналы наложены следующие ограничения:

$$u(t) \in U, \quad y(t) \in Y(t), \quad t = 0, \dots, T-1, \quad (1.2)$$

где множество доступных значений управления и множество допустимых выходных сигналов имеют вид  $U = \{u \in \mathbb{R}^m : u_{\min} \leq u \leq u_{\max}\}$ ,  $Y(t) = \{y \in \mathbb{R}^p : G(t)y \leq g(t)\}$ ,  $G(t) \in \mathbb{R}^{q \times p}$ ,  $g(t) \in \mathbb{R}^q$ .

В последующем будем считать, что в момент времени  $\tau$  доступны лишь неточные измерения выходных сигналов  $\tilde{y}^p(t) = y^p(t) + \xi(t)$ ,  $t = 0, \dots, \tau-1$ , где  $y^p(t)$  — точное значение выходного сигнала в соответствии с (1.1), а  $\xi(t)$  — ограниченная ошибка измерения в момент времени  $t = 0, \dots, \tau-1$ . Верхний индекс  $p$  подчеркивает, что измеренные сигналы относятся к конкретной "прошлой" (past) траектории.

Начальное состояние  $x_0$  и величина погрешности  $\xi(t)$  достоверно неизвестны, однако полагаем их в дальнейшем принадлежащими известным мно-

жествам:  $x_0 \in \mathcal{X}_0$ ,  $\xi(t) \in \Xi$ , где  $\mathcal{X}_0 = \{x \in \mathbb{R}^n : x_{\min} \leq x \leq x_{\max}\}$ ,  $\Xi = \{\xi \in \mathbb{R}^p : \|\xi\|_\infty \leq \varepsilon\}$ .

Поставим задачу о минимизации следующего квадратичного критерия качества

$$J(u) = \sum_{t=0}^{T-1} \|u(t)\|^2$$

на множестве доступных управляющих воздействий  $u(t) \in U$ , гарантирующих выполнение ограничений на выходные сигналы  $y(t) \in Y(t)$  при *всех* возможных реализациях ошибок  $\xi(t) \in \Xi$  и начального состояния  $x_0 \in X$ .

**Определение 1.1** Назовем состояние  $x(\tau)$  *согласующимся* с траекторией  $\{u_\tau^p, \tilde{y}_\tau^p\}$ , если найдутся такие допустимые начальное состояние  $x_0 \in X_0$  и ошибки измерения  $\xi(t) \in \Xi$ ,  $t = 0, \dots, \tau - 1$ , что

$$x(\tau) = x(\tau|x_0, u_\tau^p),$$

$$\tilde{y}^p(t) = Cx(t|x_0, u_t^p) + Du^p(t) + \xi(t),$$

$$t = 0, \dots, \tau - 1,$$

где  $x(t|x_0, u_t^p)$  — состояние, в которое система (1.1) приходит в момент  $t$ , двигаясь из начальной точки  $x(0) = x_0$  под воздействием управления  $u_t^p$ .

Обозначим через  $X(\tau, u_\tau^p, \tilde{y}_\tau^p)$  множество всех состояний  $x(\tau)$ , согласующихся с  $\{u_\tau^p, \tilde{y}_\tau^p\}$ .

## 1.2 Метод решения

Изложим стратегию оптимального управления в поставленной задаче, предложенную в [1].

В каждый момент времени  $\tau = 0, \dots, T - 1$ , обладая знанием неточной траектории  $\{u_\tau^p, \tilde{y}_\tau^p\}$ , решаем следующую задачу оптимального программного управления:

$$\min_u \sum_{t=\tau}^{T-1} \|u(t)\|^2, \tag{1.3}$$

$$x(t+1) = Ax(t) + Bu(t),$$

$$y(t) = Cx(t) + Du(t),$$

$$u(t) \in U, \quad y(t) \in Y(t) \quad \forall x(\tau) \in X(\tau, u_\tau^p, \tilde{y}_\tau^p),$$

$$t = \tau, \dots, T - 1.$$

Пусть  $u^*(t|\tau, u_\tau^p, \tilde{y}_\tau^p), t = \tau, \dots, T - 1$ , — оптимальное управление в задаче (1.3). Тогда в момент  $\tau$  подаем на вход лишь первое значение

$$u^p(\tau) = u^*(\tau|\tau, u_\tau^p, \tilde{y}_\tau^p),$$

после чего переходим к следующей задаче оптимального программного управления (1.3), сформулированной уже в момент  $\tau + 1$ , на единицу уменьшившимся горизонтом планирования и обогатившимся знанием о поведении системы в лице более длинной траектории  $\{u_{\tau+1}^p, \tilde{y}_{\tau+1}^p\}$ .

Далее, воспользовавшись принципом разделимости процессов управления и наблюдения для линейных систем, разделяем решение задачи (1.3) на решение ряда задач оптимального наблюдения и одной задачи детерминированного оптимального управления.

Так, представив состояние  $x(t)$  и выходной сигнал  $y(t)$  в виде  $x(t) = x_0(t) + \hat{x}(t)$ ,  $y(t) = y_0(t) + \hat{y}(t)$ , где  $x_0(t), y_0(t)$  соответствуют состоянию и выходу номинальной системы с тривиальным начальным состоянием

$$x_0(t+1) = Ax_0(t) + Bu(t), \quad x_0(\tau) = 0,$$

$$y_0(t) = Cx_0(t) + Du(t), \quad t = \tau, \dots, T - 1,$$

а  $\hat{x}(t), \hat{y}(t)$  соответствуют состоянию и выходу неуправляемой системы с неопределенным начальным состоянием

$$\hat{x}(t) = A\hat{x}(t), \quad \hat{x}(\tau) \in X(\tau, u_\tau^p, \tilde{y}_\tau^p),$$

$$\hat{y}(t) = C\hat{x}(t), \quad t = \tau, \dots, T - 1,$$

можем рассмотреть ограничение на выходные сигналы (1.2) в виде

$$G(t)(y_0(t) + \hat{y}(t)) \leq g(t), \quad \forall x(\tau) \in X(\tau, u_\tau^p, \tilde{y}_\tau^p),$$

что влечет естественное суженное условие на  $y_0(t)$ , удовлетворение которого будет гарантировать допустимость выходного сигнала  $y(t)$ :

$$y_0(t) \in Y_0(t|\tau) = \{y \in \mathbb{R}^p : G(t)y \leq g(t) - \chi(t|\tau)\}, \quad (1.4)$$

где каждая компонента вектора  $\chi(t|\tau)$  соответствует наихудшей реализации состояния  $x(\tau)$ :

$$\chi_i(t|\tau) = \max_z G_i(t)\hat{y}(t), \quad (1.5)$$

$$\begin{aligned}
\hat{x}(s+1) &= A\hat{x}(s), \quad \hat{x}(\tau) = z, \\
y(s) &= C\hat{x}(s), \quad s = \tau, \dots, t, \\
z &\in X(\tau, u_\tau^p, \tilde{y}_\tau^p),
\end{aligned}$$

где  $G_i(t)$  обозначает  $i$ -ю строку матрицы  $G(t)$ .

После вычисления всех оценок  $\chi(t|\tau)$ ,  $t = \tau, \dots, T-1$ , оптимальное управление  $u^*(t|\tau, u_\tau^p, \tilde{y}_\tau^p)$  получаем как решение следующей детерминированной задачи оптимального управления:

$$\min_u \sum_{t=\tau}^{T-1} \|u(t)\|^2, \quad (1.6)$$

$$\begin{aligned}
x_0(t+1) &= Ax_0(t) + Bu(t), \quad x_0(\tau) = 0, \\
y_0(t) &= Cx_0(t) + Du(t), \\
u(t) &\in U, \quad y_0(t) \in Y_0(t|\tau), \\
t &= \tau, \dots, T-1.
\end{aligned}$$

Подведем итоги. В настоящей главе была поставлена задача оптимального гарантирующего управления линейной дискретной стационарной системы по неточным выходным сигналам. Рассмотрена стратегия построения оптимальных обратных связей по выходу в реальном времени. Продемонстрировано, как данная задача естественным образом разделяется на несколько задач оптимального наблюдения и одну детерминированную задачу оптимального управления.

# ГЛАВА 2

## ПОСТАНОВКА ЗАДАЧИ В ОТСУТСТВИЕ МОДЕЛИ СИСТЕМЫ

В данной главе сосредоточимся на задаче управления системой  $G$ , однако условимся, что реализация  $(A, B, C, D)$  системы в пространстве состояний не известна. Классический подход в подобных ситуациях состоит в предварительной идентификации системы и последующей формулировке и решении задачи из главы 1.

В настоящей работе будет предложен альтернативный подход, не нуждающийся в явном параметрическом представлении системы. Вместо модели  $(A, B, C, D)$  будем использовать полученное в [2] представление любой траектории системы  $G$  на основе одной предварительно сгенерированной траектории из управления и выходного сигнала

$$\{u^d, y^d\} = \{u^d(t), y^d(t)\}_{t=0}^{T^d-1},$$

которую далее будем называть априорной траекторией.

Будем считать, что априорная траектория  $\{u^d, y^d\}$  измерена точно и для системы  $G$  дана верхняя оценка размерности ее состояния  $n$  (см. [2]).

### 2.1 Информативность априорной траектории

Предварительно приведем результаты работ [2, 11], в которых показано, как априорная траектория  $\{u^d, y^d\}$  при определенных условиях может иметь ту же информационную ценность, что и модель системы  $(A, B, C, D)$ .

**Определение 2.1** Пусть  $L, L^d \in \mathbb{N}$ ,  $L \leq L^d$ . Управление  $u = \{u(t)\}_{t=0}^{L^d-1}$  называется постоянно возбуждающим порядка  $L$ , если матрица Ганкеля

$$H_L(u) = \begin{pmatrix} u(0) & u(1) & \cdots & u(L^d - L) \\ u(1) & u(2) & \cdots & u(L^d - L + 1) \\ \vdots & \vdots & \ddots & \vdots \\ u(L - 1) & u(L) & \cdots & u(L^d - 1) \end{pmatrix}$$

имеет полный строчный ранг, т.е.  $\text{rank } H_L(u) = mL$ .



**Замечание 2.1** Если управление  $u$  является постоянно возбуждающим порядка  $L$ , то оно должно быть достаточно длинным. Поскольку матрица  $H_L(u) \in \mathbb{R}^{mL \times (L^d - L + 1)}$  имеет полный строчный ранг, число строк не превышает число столбцов:  $L^d - L + 1 \geq mL$ . Отсюда следует необходимое условие на длину  $L^d$  постоянно возбуждающего управления порядка  $L$ :  $L^d \geq L(m + 1) - 1$ .

Согласно [2, 11], априорная траектория  $\{u^d, y^d\}$ , порожденная постоянно возбуждающим управлением достаточно высокого порядка, содержат информацию, достаточную для представления любой траектории системы  $G$ . Далее будем использовать следующий результат работы [11], сформулированный в [2] в терминах классических моделей в пространстве состояний:

**Теорема 2.1** Пусть  $\{u^d, y^d\} = \{u^d(t), y^d(t)\}_{t=0}^{T^d-1}$  — априорная траектория линейной системы  $G$  размерности  $n$ , причем  $u^d$  — постоянно возбуждающее управление порядка  $T + n$ . Тогда  $\{u, y\} = \{u(t), y(t)\}_{t=0}^{T-1}$  является траекторией  $G$  в том и только в том случае, когда для

$$\begin{pmatrix} H_T(u^d) \\ H_T(y^d) \end{pmatrix} \alpha = \begin{pmatrix} u \\ y \end{pmatrix}$$

существует решение  $\alpha \in \mathbb{R}^{T^d - T + 1}$ .

Теорема 2.1 позволяет проверять любую пару  $\{u, y\}$  на принадлежность множеству траекторий системы  $G$ . В дальнейшем будем использовать условия теоремы для построения множества возможных траекторий  $\{u_\tau^p, u, y_\tau^p, y\}$  длины  $T$  с некоторой фиксированной "прошлой" частью  $\{u_\tau^p, y_\tau^p\} = \{u^p(t), y^p(t)\}_{t=0}^{\tau-1}$  длины  $\tau$  и нефиксированной "будущей" частью  $\{u, y\} = \{u(t), y(t)\}_{t=\tau}^{T-1}$ . Для этого будем делить на "прошлой" и "будущее" для момента  $\tau$  и строки матриц Ганкеля для априорной траектории:

$$H_T(u^d) = \begin{pmatrix} u^d(0) & \cdots & u^d(T^d - T) \\ \vdots & \ddots & \vdots \\ u^d(\tau - 1) & \cdots & u^d(\tau - 1 + T^d - T) \\ u^d(\tau) & \cdots & u^d(\tau + T^d - T) \\ \vdots & \ddots & \vdots \\ u^d(T - 1) & \cdots & u^d(T^d - 1) \end{pmatrix} = \begin{pmatrix} U_\tau^p \\ U_\tau^f \end{pmatrix},$$

$$H_T(y^d) = \begin{pmatrix} y^d(0) & \cdots & y^d(T^d - T) \\ \vdots & \ddots & \vdots \\ y^d(\tau - 1) & \cdots & y^d(\tau - 1 + T^d - T) \\ y^d(\tau) & \cdots & y^d(\tau + T^d - T) \\ \vdots & \ddots & \vdots \\ y^d(T - 1) & \cdots & y^d(T^d - 1) \end{pmatrix} = \begin{pmatrix} Y_\tau^p \\ Y_\tau^f \end{pmatrix}.$$

Если управление  $u^d$  является постоянно возбуждающим порядка  $T + n$ , то, согласно теореме 2.1,  $\{u_\tau^p, u, y_\tau^p, y\}$  является траекторией системы  $G$  тогда и только тогда, когда уравнение

$$\begin{pmatrix} U_\tau^p \\ Y_\tau^p \\ U_\tau^f \\ Y_\tau^f \end{pmatrix} \alpha(\tau) = \begin{pmatrix} u_\tau^p \\ y_\tau^p \\ u \\ y \end{pmatrix} \quad (2.1)$$

имеет решение  $\alpha(\tau) \in \mathbb{R}^{T^d - T + 1}$ .

В силу теоремы 2.1, для любых  $u_\tau^p, y_\tau^p, u$  можно найти хотя бы один возможный выходной сигнал  $y$ , но для единственности  $y$ , которая представляет особый практический интерес, необходимо наложить дополнительные условия. При условии наблюдаемости пары  $(A, C)$ , траектория  $\{u^p, y^p\}$  длины  $n$  однозначно определяет начальное состояние, поэтому для обеспечения единственности достаточно потребовать  $\tau \geq n$ .

## 2.2 Принцип разделимости

Найдем аналог принципа разделимости управления и наблюдения для линейных систем с известной моделью в пространстве состояний для случая, когда траектория системы  $G$  представлена в виде (2.1). Будем следовать идее декомпозиции будущего выходного сигнала  $y$  из главы 1

$$y = y_0 + \hat{y}, \quad (2.2)$$

где  $y_0 = \{y_0(t)\}_{t=\tau}^{T-1}$  — выходной сигнал системы  $G$ , соответствующий управлению  $u$  и тривиальному начальному условию  $x(\tau) = 0$ ;  $\hat{y} = \{\hat{y}(t)\}_{t=\tau}^{T-1}$  — выходной сигнал неуправляемой системы  $G$  для некоторого начального условия  $x(\tau)$ , согласующегося с текущей позицией процесса  $\{u_\tau^p, \tilde{y}_\tau^p\}$ .

Эта идея, а также теорема 2.1, используются при доказательстве следующего результата:

**Лемма 2.1** Пусть  $\{u_\tau^p, y_\tau^p\}$  — некоторая фиксированная прошлая траектория системы  $G$  длины  $\tau \geq n$ . Тогда любая траектория  $\{u_\tau^p, u, y_\tau^p, y\}$  длины  $T$  системы  $G$  однозначно представима в виде суммы траекторий  $\{0, u, 0, y_0\}$  и  $\{u_\tau^p, 0, y_\tau^p, \hat{y}\}$  длины  $T$ , причем для фиксированного управления  $u$  определить неизвестные будущие участки  $y_0, \hat{y}$  можно следующим образом:

1. Найти некоторые решения  $\hat{\alpha}(\tau), \alpha_0(\tau)$  алгебраических уравнений

$$\begin{pmatrix} U_\tau^p \\ Y_\tau^p \\ U_\tau^f \end{pmatrix} \hat{\alpha}(\tau) = \begin{pmatrix} u_\tau^p \\ y_\tau^p \\ 0 \end{pmatrix}, \quad \begin{pmatrix} U_\tau^p \\ Y_\tau^p \\ U_\tau^f \end{pmatrix} \alpha_0(\tau) = \begin{pmatrix} 0 \\ 0 \\ u \end{pmatrix}. \quad (2.3)$$

2. Вычислить  $\hat{y} = Y_\tau^f \hat{\alpha}(\tau)$ ,  $y_0 = Y_\tau^f \alpha_0(\tau)$ .

В связи с декомпозицией (2.2) выходного сигнала, ограничение (1.2) в момент  $t$  принимает вид  $G(t)(y_0(t) + \hat{y}(t)) \leq g(t)$ . Тогда на  $y_0(t)$  наложим "суженное" условие:

$$G(t)y_0(t) \leq g(t) - \chi(t|\tau), \quad (2.4)$$

где  $\chi(t|\tau) = (\chi_i(t|\tau), i = 1, \dots, q)$  соответствует наихудшей реализации выходного сигнала  $\hat{y}(t)$  в позиции  $\{u_\tau^p, \tilde{y}_\tau^p\}$ , а именно, каждый его элемент  $\chi_i(t|\tau)$  является решением задачи

$$\chi_i(t|\tau) = \max_{\hat{y}(t)} G_i(t)\hat{y}(t), \quad \hat{y}(t) \in \mathcal{Y}(t|\tau, u_\tau^p, \tilde{y}_\tau^p), \quad (2.5)$$

где  $G_i(t)$  —  $i$ -ая строка матрицы  $G(t)$ .

Задачи (2.5) представляют собой задачи линейного программирования:

$$\begin{aligned} \chi_i(t|\tau) &= \max_{\hat{\alpha}(\tau)} G_i(t)Y^d(t)\hat{\alpha}(\tau), \\ \begin{pmatrix} U_\tau^p \\ Y_\tau^p \\ U_\tau^f \end{pmatrix} \hat{\alpha}(\tau) &= \begin{pmatrix} u_\tau^p \\ y_\tau^p \\ 0 \end{pmatrix}, \\ \tilde{y}_\tau^p - \varepsilon \mathbb{1} &\leq Y_\tau^p \hat{\alpha}(\tau) \leq \tilde{y}_\tau^p + \varepsilon \mathbb{1}. \end{aligned} \quad (2.6)$$

Задачи (2.6) — задачи оптимального наблюдения, см. [1] и главу 1.

Выполнение для  $y_0(t)$  ограничения (2.4) очевидно влечет удовлетворение исходного ограничения (1.2) на  $y(t)$  для любой возможной реализации  $\hat{y}(t)$ , согласующейся с позицией  $\{u_\tau^p, \tilde{y}_\tau^p\}$ .

Параметр  $\alpha_0(\tau)$ , удовлетворяющий второму из условий (2.3) и такой, что для  $y_0(t) = Y^d(t)\alpha_0(\tau)$  при всех  $t = \tau, \dots, T-1$  выполняется неравенство (2.4), определяет допустимое управление  $u = U_\tau^f \alpha_0(\tau)$ . Тогда задача оптимального управления в момент времени  $\tau$  имеет вид:

$$\min_{\alpha_0(\tau)} \alpha_0(\tau)^T (U_\tau^f)^T U_\tau^f \alpha_0(\tau), \quad (2.7)$$

$$\begin{pmatrix} U_\tau^p \\ Y_\tau^p \end{pmatrix} \alpha_0(\tau) = \begin{pmatrix} 0 \\ 0 \end{pmatrix},$$

$$G(t)Y^d(t)\alpha_0(\tau) \leq g(t) - \chi(t|\tau),$$

$$u_{\min} \leq U^d(t)\alpha_0(\tau) \leq u_{\max}, \quad t = \tau, \dots, T-1,$$

где, по аналогии с  $Y^d(t)$ ,  $U^d(t) = (u^d(t), u^d(t+1), \dots, u^d(t+T^d-T))$ .

Пусть  $\alpha_0^*(\tau, u_\tau^p, \tilde{y}_\tau^p)$  — решение задачи оптимального управления (2.7). На вход системы  $G$  подаем первое значение соответствующего управления, которое вычисляется согласно формуле  $u^*(\tau|\tau, u_\tau^p, \tilde{y}_\tau^p) = U^d(\tau)\alpha_0^*(\tau, u_\tau^p, \tilde{y}_\tau^p)$ .

Таким образом, алгоритм управления системой на основе априорных данных  $\{u^d, y^d\}$  состоит в следующем

при всех  $\tau = n, \dots, T-1$ :

- 1) решить задачи (2.6), найти оценки  $\chi_i(t|\tau)$ ,  $i = 1, \dots, q$ ,  $t = \tau, \dots, T-1$ ;
- 2) решить задачу (2.7), найти  $\alpha_0^*(\tau, u_\tau^p, \tilde{y}_\tau^p)$ ;
- 3) подать на вход системы управление  $u^p(\tau) = U^d(\tau)\alpha_0^*(\tau, u_\tau^p, \tilde{y}_\tau^p)$ .

Как и в главе 1, полученное в результате применения алгоритма управление  $u^p(\tau)$ ,  $\tau = n, \dots, T-1$ , является *реализацией в конкретном процессе управления оптимальной обратной связи по неточным измерениям*.

Для того, чтобы результаты представленного алгоритма совпадали с результатом главы 1 необходимо потребовать  $X_0 = \mathbb{R}^n$ , совпадения управлений  $u^p(t)$  при  $t = 0, 1, \dots, n-1$ , и также начинать процесс управления в момент  $\tau = n$ .

Теоретическое обоснование реализуемости предложенного алгоритма управления дает следующий результат.

**Теорема 2.2** Пусть в момент  $\tau$  для позиции  $\{u_\tau^p, \tilde{y}_\tau^p\}$  каждая из задач (2.6) имеет решение. Далее, пусть имеет решение задача (2.7) с параметрами  $\chi(t|\tau)$ , поставленными решениями задач (2.6). Тогда в момент  $\tau+1$  для позиции  $\{u_\tau^p, u^*(\tau|\tau), \tilde{y}_\tau^p, \tilde{y}^p(\tau)\}$  задачи (2.6), (2.7) также имеют решение. Более того,

$$\sum_{t=\tau+1}^{T-1} \|u^*(t|\tau+1)\|^2 \leq \sum_{t=\tau+1}^{T-1} \|u^*(t|\tau)\|^2.$$

**Следствие 2.1** Если задачи оптимального наблюдения (2.6) и управления (2.7) имеют решение в момент времени  $\tau = n$ , то они разрешимы и в

каждый из последующих моментов  $\tau = n + 1, \dots, T - 1$ . При этом критерий качества, значение которого определяется в момент  $\tau$  как

$$J(\tau) = \sum_{t=0}^{\tau-1} \|u^p(t)\|^2 + \sum_{t=\tau}^{T-1} \|u^*(t|\tau)\|^2,$$

является невозрастающей функцией от  $\tau$ .

Доказательство теоремы 2.2 использует "хвост"  $u^c = \{u^*(t|\tau)\}_{t=\tau+1}^{T-1}$  оптимального управления, полученного в момент  $\tau$  не только для доказательства допустимости задачи оптимального управления (как и в случае наличия модели системы), но и для доказательства существования решения задач оптимального наблюдения. Это позволяет учесть взаимосвязь не только между соответствующими задачами для  $\tau$  и  $\tau + 1$ , но и между самими задачами для момента  $\tau + 1$ . В частности, для задач оптимального наблюдения на основе  $u^c$  приводится такая верхняя оценка решения  $\chi(t|\tau + 1)$ , которая позволяет продемонстрировать и допустимость управления  $\{u^*(t|\tau)\}_{t=\tau+1}^{T-1}$  в задаче оптимального управления для момента  $\tau + 1$ .

В данной главе был предложен новый способ решения задачи, поставленной в предыдущей главе. Этот способ не требует знания реализации системы в пространстве состояний. Предложенный метод сводится к решению задач линейного и квадратичного программирования, базирующихся лишь на двух траекториях системы: априорной и наблюдаемой в процессе управления.

## ГЛАВА 3

### ЧИСЛЕННЫЕ ПРИМЕРЫ

В настоящей главе предложенная схема управления из главы 2 применяется для решения ряда примеров. Приводятся основные элементы программной реализации в пакете Matlab и результаты численных экспериментов.

#### 3.1 Элементы программной реализации

Решение задачи оптимального программного управления в момент времени  $\tau$  происходит в функции `control_at_tau`. В качестве входных параметров передаются матрицы Ганкеля, разделенные на "прошрое" ( $U_p$ ,  $Y_p$ ) и "будущее" ( $U_f$ ,  $Y_f$ ) для момента  $\tau$ ; прошлая траектория  $u_p$ ,  $y_p$ ; число EPS, определяющее точность измерений выходных сигналов; матрицы GG, gg и скаляры  $u_{\max}$ ,  $u_{\min}$ , задающие ограничения на выходные сигналы и управления соответственно.

```
function [isFeasible, uf] = control_at_tau ( Up, Yp, Uf, Yf, ...
    up, yp, EPS, GG, gg, umax, umin)
    [chiDet, solutionExistsDet] = ...
        estimation_Det (Up, Yp, Uf, Yf, up, yp, EPS, GG);
    %optimal input
    [uf, exitflagDet] = ...
        control_Det (Up, Yp, Uf, Yf, GG, gg, umax, umin, chiDet);

    if exitflagDet == 1 && solutionExistsDet == 1 %both estimation ...
        and control problems feasible
        isFeasible = true;
    else
        isFeasible = false;
    end
end
```

Сперва `control_at_tau` вызывает функцию `estimation_Det`, которая реализует решение задач оптимального наблюдения. В теле `estimation_Det` на основе данных (матриц Ганкеля  $U_p$ ,  $Y_p$ ,  $U_f$ ,  $Y_f$  и траектории наблюдаемого

процесса  $u\_init$ ,  $y\_init$ ) и ограничения ошибки измерения EPS формируются матрицы  $A$ ,  $b$ ,  $Aeq$ ,  $beq$ , задающие ограничения-неравенства и ограничения-равенства соответственно. Далее с этими ограничениями решается ряд задач линейного программирования с помощью встроенной функции `linprog`.

Решения данных задач формируют вектор `chiDet`, который функция `estimation_Det` возвращает. Наряду с `chiDet` возвращается булевая переменная `allexitflagsEqualOne`. Эта переменная принимает значение `True` тогда и только тогда, когда `linprog` успешно решил все задачи. Здесь и далее переменные такого характера используются для эмпирического подтверждения теоремы 2.2 о рекуррентной разрешимости.

```
function [chiDet, allexitflagsEqualOne] = estimation_Det(Up,...
Yp, Uf, Yf, u_init, y_init, EPS, GG)
allexitflagsEqualOne = true;
chiDet = zeros(length(GG(:,1)),1); %for each row of GG

%precalculate MATRICES for linprog
A = vertcat(Yp, -Yp);
b = vertcat(y_init + EPS.*ones(length(y_init),1), ...
    -y_init+EPS.*ones(length(y_init),1) );
Aeq = vertcat(Up, Uf);
beq = vertcat(u_init, zeros(length(Uf(:,1)), 1));

options = optimoptions('linprog','Display','iter');
for i = 1:length(GG(:,1))
    [x, fval, exitflag, ~] = ...
        linprog(-GG(i,:)*Yf, ...
        %-GG(i,:) instead of GG(i, :) for a max instead of min
        A, b, Aeq, beq, ...
        [], [], options);

    if exitflag == 1
        chiDet(i) = fval;
    else
        allexitflagsEqualOne = false;
        diary on
        'broken linprog'
        exitflag
        diary off
    end
end
```

```
end
```

```
chiDet = -chiDet; % minus before chi to contain a max instead of min  
end
```

Затем в теле `control_at_tau` вычисленное значение `chiDet` передается в функцию `control_Det`. Здесь сперва для нахождения  $\alpha_0^*(\tau)$  с помощью встроенной функции `quadprog` решается задача квадратичного программирования, ограничения для которой задаются уже не только через `Up`, `Yp`, `Uf`, `Yf`, `GG`, `gg`, `umax`, `umin`, а с привлечением `chiDet`. После посредством умножения полученного решения `alphaCdet` `Uf` формируется оптимальное управление `uOptDet`, которое является главным выходным параметром.

```
function [uOptDet, exitflag] = control_Det (Up, Yp, Uf, Yf,...  
GG, gg, umax, umin, chiDet)  
%Quadratic Problem for CONTROL  
[alphaCdet,~, exitflag, ~] = quadprog(transpose(Uf)*Uf, [],...  
vertcat(GG*Yf, Uf, -Uf), ...  
    vertcat(gg-chiDet, umax * ones(length(Uf(:,1))), 1),...  
    -umin * ones(length(Uf(:, 1)), 1)),...  
    vertcat(Up, Yp), zeros(size(Up,1)+size(Yp,1),1));  
  
%optimal input  
uOptDet = Uf*alphaCdet;  
end
```

Главный цикл итераций обернут в функцию `control_over_T`. В каждый момент времени  $\tau$  вызывается функция `control_at_tau`, которая поставляет оптимальное управление `uf` исходя из априорных данных и наблюдаемой в реализуемом процессе траектории `ur`, `yr`. Затем с помощью встроенной функции `lsim` моделируется подача на вход системы первого значения `uf(1:udim)` управления `uf`. К точному значению выходного сигнала, который возвращает `lsim`, прибавляется ограниченная ошибка, моделируемая как `EPS*rand([y_dim, 1])`. Удлиненная новыми неточными данными наблюдаемая траектория `ur`, `yr` вступает в следующую итерацию — для момента  $\tau + 1$ .

```
function [isFeasible, u_init, y_init, uopt, yopt, xopt, costs] = ...  
control_over_T (sys, x_init, u_init, y_init, Hu, Hy, GG, gg,...  
umax, umin, u_dim, y_dim, EPS, t_y)  
    isFeasible = true;
```



```

t_init = length(u_init)/u_dim + 1; %when we start control
T = length(Hu(:, 1))/u_dim; %prediction horizon
costs = zeros(T-t_init+1,1);
up = u_init;
yp = y_init;
GGtau = GG;
ggtau = gg;
for tau = t_init:T
    Up = Hu(1:(tau-1)*u_dim, :);
    Uf = Hu((tau-1)*u_dim+1:end, :);
    Yp = Hy(1:(tau-1)*y_dim, :);
    Yf = Hy((tau-1)*u_dim+1:end, :);

    %-y_dim*2 inequality constraints each time
    %if tau > t_init
    %constraints enforced for the last t_y only

    if tau > T-t_y
        GGtau = GGtau(1+y_dim*2:end, :);
        ggtau = ggtau(1+y_dim*2:end);
    end

    if tau > t_init
        GGtau = GGtau(:, 1+y_dim:end);
    end

    [isFeasibleatTau, uf] = control_at_tau (Up, Yp, Uf, Yf,...
        up, yp, EPS, GGtau, ggtau, umax, umin);
    costs(tau-t_init+1) = up' * up + uf' * uf;

    diary on
    tau
    isFeasibleatTau
    uf
    'cost at tau'
    up' * up + uf' * uf
    diary off

    up = vertcat(up, uf(1:u_dim));

```

```

[yf, ~, ~] = lsim(sys, transpose(reshape(up, u_dim, [])), ...
[], x_init);
yp = vertcat(yp, transpose(yf(end,:)) + ...
EPS * rand([y_dim,1]));
end
end

```

## 3.2 Пример 1

Применим предложенный алгоритм для управления следующей системой:

$$\begin{aligned}
x(t+1) &= \begin{pmatrix} 0.9950 & 0.0998 \\ -0.0998 & 0.9950 \end{pmatrix} x(t) + \begin{pmatrix} 0.0050 \\ 0.0998 \end{pmatrix} u(t), \\
y(t) &= (1 \ 0) x(t), \quad t = 0, \dots, T-1.
\end{aligned} \tag{3.1}$$

Требуется минимизировать величину  $\sum_{t=0}^{T-1} \|u(t)\|^2$  при гарантированном соблюдении ограничений на значения выходных сигналов в последних 15 временных точках:  $|y(t)| \leq 0.3$ ,  $t = T-15, \dots, T-1$ . Доступны управления, для которых  $|u(t)| \leq 0.7$ ,  $t = 0, \dots, T-1$ . Горизонт планирования  $T = 135$ , абсолютное значение ошибки ограничено величиной  $\varepsilon = 0.02$ .

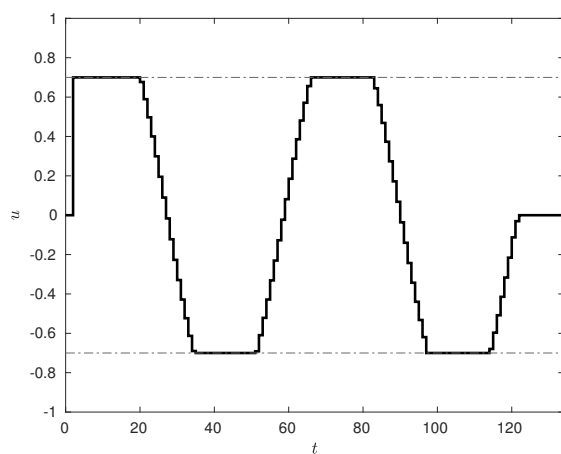
Управление системой (3.1) начинается в момент  $\tau = n = 2$ .

Согласно замечанию 2.1, длина  $T^d$  априорной траектории должна быть не меньше  $(n+T)(m+1)-1 = 273$ . Именно такой, наименьшей подходящей длины, была сгенерирована незашумленная априорная траектория  $\{u^d, y^d\}$ , в которой управления  $u^d(t)$ ,  $t = 0, \dots, T^d-1$ , — случайные числа, равномерно распределенные в  $[0, 0.7]$ .

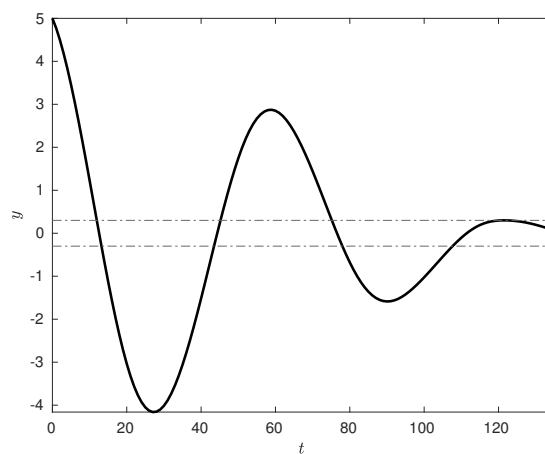
Пусть в конкретном процессе реализовалось начальное состояние  $x_0^p = (5, -2)$ . Траектория  $\{u_2^p, \tilde{y}_2^p\}$ , соответствующая движению системы до начала управления, получена при  $u^p(0) = u^p(1) = 0$  и  $\xi(t)$ ,  $t = 0, 1$ , выбранных случайным образом из отрезка  $[-\varepsilon, \varepsilon]$ .

На рис. 3.1a изображена реализация  $u^p(\tau)$ ,  $\tau = 0, \dots, T-1$ , оптимальной обратной связи в рассматриваемом процессе. Выходной сигнал (см. рис. 3.1b) удовлетворяет ограничениям на промежутке от  $\tau = 120$  до  $\tau = 134$ . На рис. 3.1c изображена реализовавшаяся траектория системы (3.1). Априорная оценка значения критерия качества, полученная в  $\tau = 2$  составила 46.3322. В процессе управления значение критерия качества улучшилось до 42.5599. Наиболее значительное изменение происходит при  $\tau = 2, \dots, 28$ . Этот фраг-

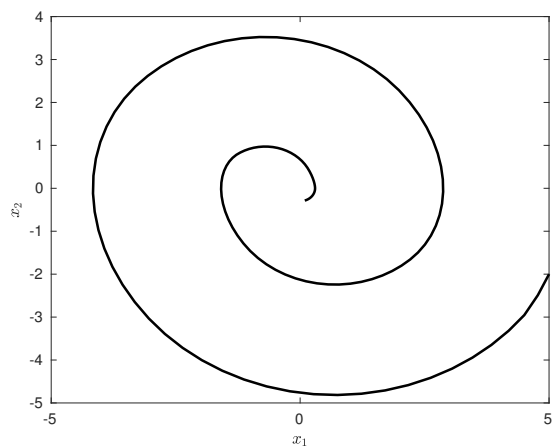
мент приведен на рис. 3.1d.



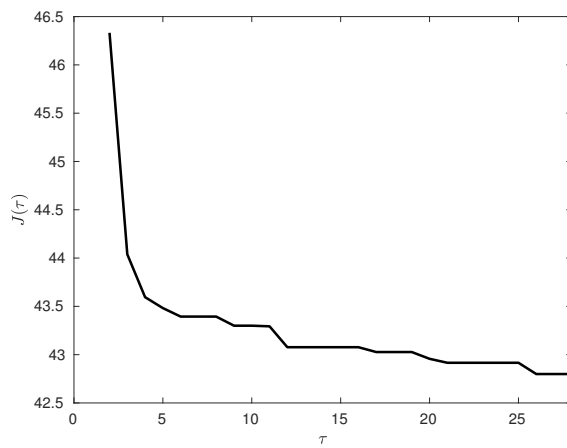
(a)



(b)



(c)



(d)

Рис. 3.1. Реализованная оптимальная обратная связь (a), соответствующий выходной сигнал (b), фазовая траектория (c), изменение критерия качества (d)

### 3.3 Пример 2

Рассмотрим задачу оптимального управления для системы, которая была рассмотрена в [4]:

$$x(t+1) = \begin{pmatrix} 0.921 & 0 & 0.041 & 0 \\ 0 & 0.918 & 0 & 0.033 \\ 0 & 0 & 0.924 & 0 \\ 0 & 0 & 0 & 0.937 \end{pmatrix} x(t) + \begin{pmatrix} 0.017 & 0.001 \\ 0.001 & 0.023 \\ 0 & 0.061 \\ 0.072 & 0 \end{pmatrix} u(t), \quad (3.2)$$

$$y(t) = \begin{pmatrix} 1 & 0 & 0 & 0 \\ 0 & 1 & 0 & 0 \end{pmatrix} x(t), \quad t = 0, \dots, T-1.$$

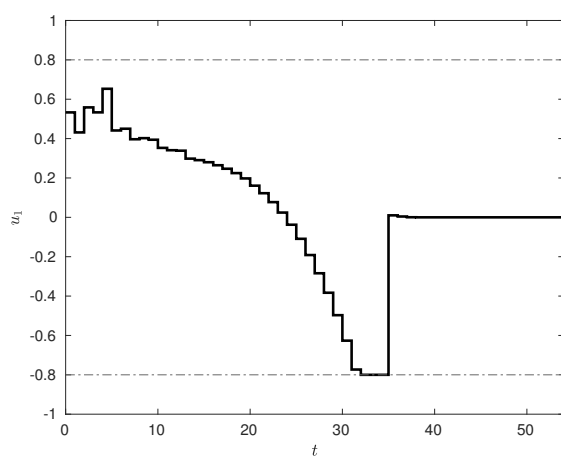
Снова требуется минимизировать величину  $\sum_{t=0}^{T-1} \|u(t)\|^2$  при следующих ограничениях:  $|y_i(t)| \leq 0.1$ ,  $t = T-20, \dots, T-1$ ,  $i = 1, 2$ , и  $|u_i(t)| \leq 0.8$ ,  $t = 0, \dots, T-1$ ,  $i = 1, 2$ . Положим  $T = 55$ ,  $\varepsilon = 0.02$ .

Отметим, что для данной системы управление можно было бы начать в момент  $\tau = 2$ , поскольку наблюдений при  $t = 0, 1$  достаточно для неявного задания начального условия  $x_0$ . Однако, поскольку математическая модель неизвестна, известна лишь точная размерность системы,  $n = 4$ , управление системой (3.2) начинается в момент  $\tau = n = 4$ .

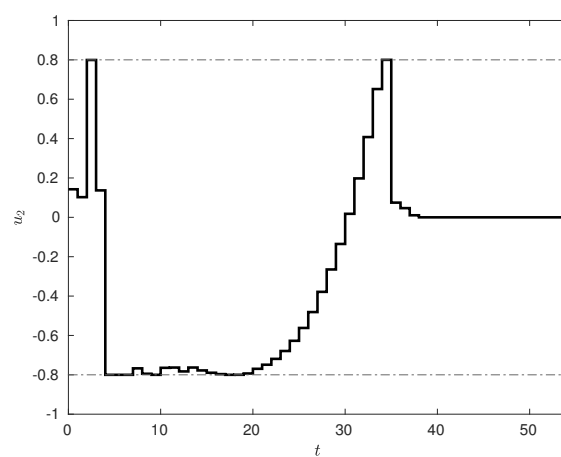
Управления  $u^d(t)$ ,  $t = 0, \dots, T^d - 1$  для априорной траектории  $\{u^d, y^d\}$  длины  $T^d = 176$  (см. замечание 2.1) были сгенерированы как случайные векторы, равномерно распределенные в  $[-0.8, 0.8]^2$ .

Траектория  $\{u_4^p, \tilde{y}_4^p\}$  конкретного процесса была сгенерирована для начального состояния  $x_0^p = (4, 0, 1, -1)$  и  $u^p(t)$ ,  $\xi(t)$ ,  $t = 0, \dots, 3$ , выбранных случайным образом из квадратов  $[0, 0.8]^2$ ,  $[-\varepsilon, \varepsilon]^2$ , соответственно.

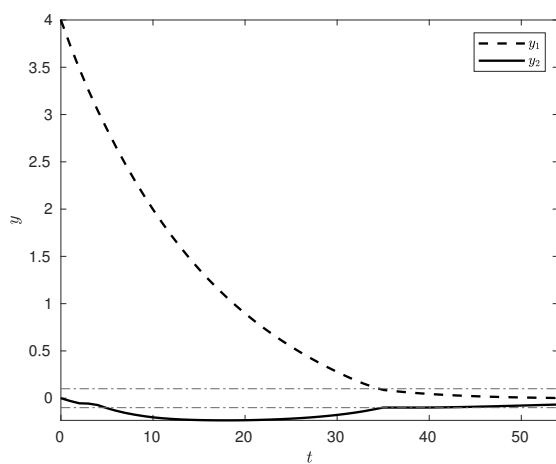
Рис. 3.2 иллюстрирует результаты применения предложенной схемы управления. Априорная оценка значения критерия качества, составлявшая 32.183, была улучшена до 21.857. Начиная с момента  $\tau = 29$  изменения не существенны.



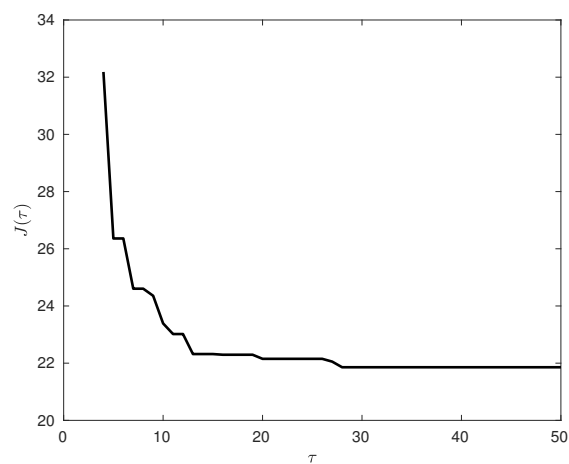
(a)



(b)



(c)



(d)

Рис. 3.2. Реализация оптимальной обратной связи (a)–(b), соответствующие выходные сигналы (c), изменение критерия качества (d)

## ЗАКЛЮЧЕНИЕ

В данной работе рассмотрена задача оптимального управления линейной стационарной системой при наличии ограничений и неточных измерений выходных сигналов. Математическая модель системы в пространстве состояний предполагается неизвестной, доступны только данные априорных наблюдений за ее поведением в одном процессе управления.

В предположении об отсутствии в априорных данных ошибок обоснован принцип разделимости процессов наблюдения и управления в линейных системах только на основе доступных данных, сформулированы соответствующие задачи оптимального наблюдения и управления, предложен и обоснован алгоритм управления объектом в режиме реального времени на основе данных.

Эффективность предложенного метода проиллюстрирована численными примерами.

## СПИСОК ИСПОЛЬЗОВАННОЙ ЛИТЕРАТУРЫ

- 1 Габасов Р., Н.М. Дмитрук, Ф.М. Кириллова. Оптимальное управление многомерными системами по неточным измерениям их выходных сигналов // Труды Института математики и механики УрО РАН, Т.10, №2, 2004. С. 33-57.
- 2 Berberich, J. A trajectory-based framework for data-driven system analysis and control / J. Berberich, F. Allgöwer // arXiv: 1903.10723. – 2019.
- 3 Berberich, J. Robust data-driven state-feedback design / J. Berberich, A. Romer, C. W. Scherer, F. Allgöwer // arXiv: 1909.04314. – 2019.
- 4 Berberich, J. Data-Driven Model Predictive Control with Stability and Robustness Guarantees / J. Berberich, J. Köhler, M. A. Müller, F. Allgöwer // arXiv: 1906.04679. – 2019.
- 5 Copp, D. Simultaneous nonlinear model predictive control and state estimation / D. Copp, J. Hespanha // Automatica. – 2016. – Vol. 77. – P. 143-154.
- 6 Coulson, J. Data-Enabled Predictive Control: In the Shallows of the DeePC / J. Coulson, J. Lygeros, F. Dörfler // 18th European Control Conference (ECC), Naples, Italy. – 2019. – P. 307-312.
- 7 Hou, Z.-S. From model-based control to data-driven control: Survey, classification and perspective / Z.-S Hou, Z. Wang // Information Sciences. – 2013. – Vol.235. – P.3-35.
- 8 De Persis, C. Formulas for data-driven control: Stabilization, optimality and robustness / C. De Persis, P. Tesi // arXiv: 1903.06842. – 2019.
- 9 Romer, A. One-shot verification of dissipativity properties from input-output data / A. Romer, J. Berberich, J. Köhler, F. Allgöwer // IEEE Control Systems Letters. – 2019. – Vol. 3, no.3. – P. 709-714.
- 10 Waarde, H.J. Data informativity: a new perspective on data-driven analysis and control / H. J. van Waarde, J. Eising, H. L. Trentelman, M. K. Camlibel // arXiv: 1908.00468. – 2019.
- 11 Willems, J. C. A note on persistency of excitation / J. C. Willems, I. Markovsky, P. Rapisarda, B. L. M. De Moor // Systems & Control Letters. – 2005. – Vol. 54. – P. 325-329.